



## بررسی تأثیر تغییر کاربری اراضی بر آن در حوزه آبخیز گل گل، ایلام

سمیه میرزایی<sup>۱</sup>، حسین زینیوند<sup>۲</sup> و علی حقیزاده<sup>۳</sup>

۱- دانشجوی کارشناسی ارشد و استادیار، دانشگاه لرستان

۲- استادیار، دانشگاه لرستان، (نویسنده مسؤول: hzeinivand@gmail.com)

۳- تاریخ دریافت: ۹۲/۱۰/۲۳ تاریخ پذیرش: ۹۳/۱۱/۱

### چکیده

در این مطالعه توانایی مدل هیدرولوژیکی-توزیعی WetSpa در شبیه‌سازی غلظت رسووب معلق در گام زمانی روزانه با استفاده از داده‌های اقلیمی یک دوره آماری هفت ساله شامل: بارش، دما، تبخیر، دبی و رسووب معلق و استفاده از سه نقشه مرجع DEM بافت خاک و کاربری اراضی با اندازه سلول ۲۵ متری مورد بررسی قرار گرفت. همچنین با اجرای مدل با تغییر نقشه کاربری، تأثیرات تغییر کاربری اراضی روی تغییرات رسووب حوزه آبخیز گل گل به منظمه برنامه‌ریزی و مدیریت حوزه آبخیز بررسی شد. نتایج نشان داد که مدل WetSpa قابلیت مناسبی در شبیه‌سازی غلظت رسووب معلق را در گام زمانی روزانه دارا می‌باشد. به طوری که معیار ارزیابی ناش-ساتکلیف برای شبیه‌سازی غلظت رسووب معلق ۶۷/۴۵ درصد به دست آمد، که نتیجه قابل قبولی می‌باشد، همچنین نتایج نشان داد که با تغییر کاربری اراضی جنگلی و کشت آبی-باغی از سال ۱۹۸۸ تا ۲۰۱۳ روند کاهشی به ترتیب به میزان ۳۹۴۲/۹۹ و ۳۳۷۲/۵۰۲ ۳۹۳۴/۳۸۶ هکتار و اراضی مرتعی و کشت دیم روند افزایشی به ترتیب به میزان ۳۳۱۲/۹ ۳۳۱۳ هکتار را نشان می‌دهند. نتایج نشان داد که میانگین رسووب روزانه، رسووب ویژه سالانه و اورد رسووب سالانه با تغییر کاربری از سال ۱۹۸۸ تا ۲۰۱۳ افزایش یافته است. نتایج حاصل از آنالیز آماری هم نشان داد که تغییر کاربری اراضی در سطح معنی داری یک درصد بر غلظت رسووب معلق در منطقه مورد مطالعه تأثیر دارد، به طوری که میانگین رسووب سالانه از ۱/۱۴۱ گرم بر لیتر در سال ۱۹۸۸ به ۱/۱۷۱ گرم بر لیتر در سال ۲۰۱۳ رسید، که به طور متوسط در هر هکتار باعث افزایش ۶۳/۸۱۸۹ کیلوگرم رسووب شده است.

واژه‌های کلیدی: مدل هیدرولوژیکی-توزیعی، شبیه‌سازی، تغییر کاربری، آنالیز آماری، حوزه آبخیز گل گل

داراست (۴۰). دستم و همکاران (۱۰) با انجام پژوهشی در بلژیک با استفاده از مدل WetSpa به این نتیجه رسیدند که مدل، توانایی بالایی برای تعیین تأثیر تغییرات کاربری اراضی یا پوشش خاک بر رفتار هیدرولوژیکی حوزه آبخیز دارد. لیو و همکاران (۱۶) در آبخیز Alzitte در لوگرامبورگ مدل را با ۳۰ ماه داده‌ی ساعتی آزمون کردند و نتایج آنها نشان داد که این مدل توانایی بالایی برای بررسی تغییر کاربری اراضی یا پوشش خاک روی رفتار هیدرولوژیکی رودخانه دارد. همچنین آنالیز حساسیت مدل نشان داد که فراوانی سیلان و ضربی زبری آبراهه، بیشترین تأثیر را بر هیدرولوگراف خروجی آبخیز می‌گذارند. زینیوند (۳۹) از این مدل در حوزه‌های آبخیز Maarkebeek و Hornad با استفاده‌ی ساعتی و روزانه استفاده کردند که نتایج مقایسه دبی و غلظت رسووب شبیه‌سازی شده در خروجی این حوزه‌ها و برای دوره‌های آماری متفاوت نشان داد که مدل توانایی شبیه‌سازی فرسایش و انتقال رسووب با دقت مناسب را دارد. بهره‌مند و دستم (۷) در حوزه آبخیز Torysa در اسلواکی با استفاده از واسنجی، پارامترهای مدل WetSpa را تخمین و سپس آنالیز حساسیت و آنالیز پیش‌بینی انجام داده‌اند و به این نتیجه رسیدند که ضربی اصلاحی تبخیر بیشترین حساسیت را دارد و عدم قطبیت پارامترها و آنالیز پیش‌بینی تصور درستی از مجموعه پارامترها و بازده‌های آنها را در اختیار قرار داده است.

پرایس و همکاران (۲۷) در مطالعه‌ای که در شمال غربی کارولینا واقع در ایالات متحده امریکا و با استفاده از مدل

### مقدمه

فرسایش و انتقال رسووب یک فرآیند پیچیده است که تحت تأثیر بافت خاک، توپوگرافی منطقه، اقلیم، کاربری اراضی، فعالیت‌های انسانی نظری سیستم‌های کشت و اقدامات حفاظتی خاک می‌باشد (۱۲). در مناطقی که دارای خاک، توپوگرافی و اقلیم مشابه هستند اختلاف میزان فرسایش عموماً به نوع کاربری اراضی برمی‌گردد (۲۱۹). برآورد میزان رسووب و اعمال مدیریت مناسب در یک حوزه آبخیز همانند هر پدیده طبیعی دیگر نیازمند شناخت کامل عوامل تأثیرگذار بر آن است. از آنجا که پدیده‌ی فرسایش و رسووب یکی از پیچیده‌ترین فرآیندهای طبیعی بوده و عوامل زیادی در آن دخیل می‌باشند، شناخت کامل عوامل مؤثر در این پدیده کاری بسیار مشکل است (۳۶، ۳۵، ۳۱). در مدل سازی فرسایش، اهداف مختلفی مدنظر است، از مدل‌های فرسایش می‌توان به عنوان ابزار پیش‌بینی برای برنامه‌های حفاظتی، عوامل فرسایش خاک، طرح‌ریزی پروژه‌ها و آینده‌ها استفاده کرد. مدل‌های فرسایش یک تصویر از فرآیند فرسایش، زمان و مقدار فرسایش در منطقه را ارائه می‌دهند، که به برنامه‌ریزها این قدرت را می‌دهند که منابع را در جهت کاهش فرسایش تقسیم کنند (۳۰، ۱۰). مدل WetSpa یک مدل پیوسته هیدرولوژیکی- غالباً فیزیکی است که قابلیت پیش‌بینی سیلان و شبیه‌سازی بیلان آبی، فرسایش و انتقال رسووب، کیفیت آب و مدیریت آبخیز در مقیاس حوزه آبخیز، زیرحوزه آبخیز و شبکه سلولی با گام‌های زمانی مختلف را

می‌رسد. کانگ (۱۶) در مطالعه‌ای در مصب رودخانه زرد در چین غلظت رسوب معلق ۱۴۰ گرم در لیتر را ثبت کردند. مرادی‌بور و همکاران (۲۴) در حوزه آبخیز طالقان توانایی مدل در شبیه‌سازی توزیعی مکانی سیل را بررسی کردند که معیار ارزیابی ناش ساتکلیف برای برآورد رواناب ۸۴/۸۵ درصد بهدست آمد و نتایج نشان داد که با توجه به خروجی مدل و فاکتورهای هیدرولوژیکی با توزیع مکانی در هر گام زمانی، مدل قابلیت آنالیز اثرات توپوگرافی، بافت خاک و کاربری‌اراضی در رفتار هیدرولوژیکی آبخیز را داشت.

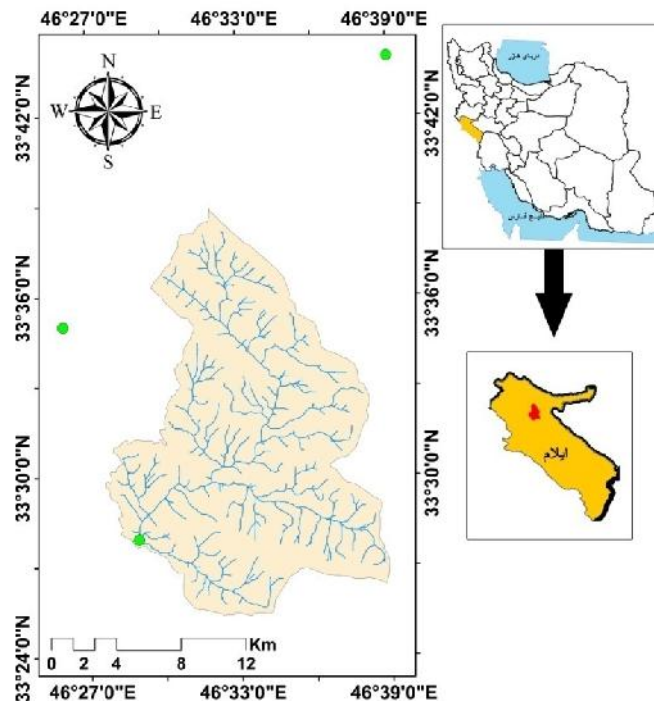
با توجه به مطالب گفته شده هدف از انجام این پژوهش، شبیه‌سازی فرسایش خاک و رسوب معلق و تحلیل اثرات کاربری اراضی بر آن با استفاده از مدل WetSpa و بررسی دقیق این مدل در پیش‌بینی فرسایش و رسوب می‌باشد. در همین راستا حوزه آبخیز گل یکی از سرشاخه‌های اصلی در ایلام در استان ایلام برای این تحقیق انتخاب شد.

### مواد و روش‌ها

#### منطقه مورد مطالعه

حوزه آبخیز گل یکی از زیرحوزه‌های حوزه آبخیز سد ایلام می‌باشد به مساحت حدود ۲۵۲ کیلومتر مربع که در محدوده جغرافیایی<sup>۱</sup> ۴۶°۴۲'۰"E تا ۴۶°۳۹'۰"E و ۳۳°۳۹'۰"N تا ۳۳°۴۲'۰"N عرض شمالی واقع است. متوسط دمای منطقه درجه سانتی‌گراد می‌باشد، و متوسط ارتفاع آن از سطح دریانیز ۱۷۲۱ متر است (شکل ۱).

انجام دادند به این نتیجه رسیدند که تغییر کاربری اراضی از جنگل‌های طبیعی به مراتع و چراگاه‌های متوسط و ضعیف ارتباط معنی‌داری با کاهش جریان پایه دارد. زینیوند و دسمت (۴۰) مدل را در حوزه آبخیز سد لیلان واقع در کوه‌های البرز در شمال ایران جهت شبیه‌سازی فرسایش خاک و انتقال رسوب آزمون کردند که معیار ناش ساتکلیف برای دبی ۸۵٪ بهدست آمد که نشان داد مدل در شبیه‌سازی هیدرولوگراف سیل، دقیق‌تر آمد از مدل این معیار برای رسوب معلق ۶۵٪ بهدست آمد که نشان‌دهنده تطابق قابل قبول بین رسوب مشاهده شده و شبیه‌سازی شده می‌باشد. متکان و همکاران (۲۵) در حوزه آبخیز مرک، استان کرمانشاه توانایی مدل را در شبیه‌سازی جریان روزانه رودخانه و تحلیل اثرات تغییر کاربری بهینه روی آن، بررسی کردند که معیار ارزیابی ناش‌ساتکلیف با دقیقی معادل ۷۷٪ به دست آمد. همچنین شبیه‌سازی جریان رودخانه تحت کاربری بهینه نشان داد که هیدرولوگراف جریان رودخانه با تأخیر به اوج خود رسیده و در مقایسه با هیدرولوگراف کاربری فعلی، دیرتر فروکش می‌کند. به علاوه دبی اوج هیدرولوگراف نیز بعد از تغییر کاربری بهینه، پایین‌تر آمده است. صادقی و همکاران (۲۹) در مطالعه‌ای در حوزه آبخیز آموزشی و پژوهشی دانشگاه تربیت مدرس، غلظت رسوب معلق ۱۰۸ گرم در لیتر را ثبت کردند. با توجه به شرایط مطلوب جنگلی شمال و تثبیت خاک، ثبت چنین داده‌ای احتمال ثبت رسوب ۲۱۰ گرم بر لیتر با توجه به رخدادهای فرسایشی چون زمین لغزش در حوزه آبخیز مورد مطالعه در ایلام طبیعی به نظر



شکل ۱- منطقه مورد مطالعه  
Figure. 1 Study area

تولید شده از صحت کلی و ضریب کاپا استفاده شد (۱۸,۳۲) (جدول ۱).

**۲- داده‌های اقلیمی:** برای منطقه مورد مطالعه از داده‌های اقلیمی یک دوره آماری ۷ ساله (۱۳۸۹ تا ۱۳۸۲) شامل ۸ ایستگاه باران‌سنجی، سه ایستگاه دما‌سنجی، سه ایستگاه تبخیر سنجی و یک ایستگاه هیدرومتری (دبی و رسوب) استفاده شد. داده‌های مربوط به بارش، دبی، دما و تبخیر برای تمام روزهای سال، اما تعداد داده‌های استفاده شده در این پژوهش برای رسوب ۸۰ داده بود.

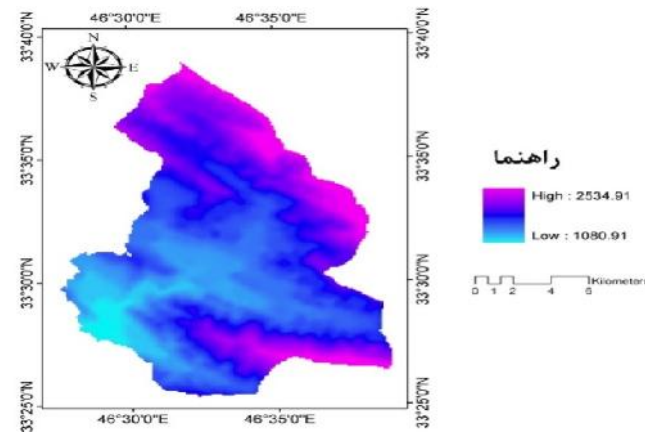
برای اطمینان از دسترسی به آمار و اطلاعات اقلیمی کافی و دقیق یک حیرم جغرافیایی بیشتر از مرز حوزه آبخیز در نظر گرفته شد که در نهایت با استفاده از روش تیسنپلی‌گون و مرز حوزه آبخیز، ایستگاه‌های مؤثر جهت استفاده در مدل مشخص و ایستگاه‌های دور و با فاصله زیاد حذف شد و نهایتاً ۷ ایستگاه باران‌سنجی، دو ایستگاه دما‌سنجی و دو ایستگاه تبخیر سنجی انتخاب شد. در این پژوهش پس از جمع‌آوری آمار و اطلاعات پایه هواشناسی و اطمینان از صحت آنها، دوره آماری مشترک از اول مهر سال ۱۳۸۲ تا ۳۱ شهریور ۱۳۸۹ تعیین شد.

### نمایه‌های مورد استفاده

در مراحل مختلف انجام این پژوهش، به‌منظور پیش‌پردازش داده‌های اصلی ورودی مدل، تحلیل داده‌های مکانی مورد نیاز، تولید نقشه‌های توزیعی به منظور اجرای مدل و تهیه خروجی از نقشه‌ها از نرم‌افزار ArcGIS 9.3 و ArcView 3.2 و ArcGIS 4.7 و ENVI 4.7 نیز به منظور تجزیه و تحلیل آماری و پیش‌پردازش داده‌های هواشناسی و هیدرومتری مورد استفاده قرار گرفتند.

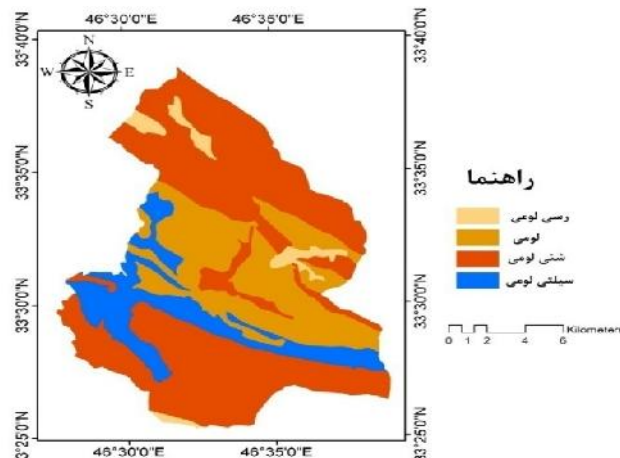
### داده‌های مورد نیاز مدل WetSpa

داده‌های مورد نیاز مدل WetSpa به ترتیب زیر می‌باشند:  
۱- سه نقشه پایه: شامل مدل رقومی ارتفاعی (DEM) که از نقشه توپوگرافی ۱:۲۵۰۰۰ و با دقت ۱۰ متر تهیه شد، نقشه بافت خاک منطقه با مقیاس ۱:۱۵۰۰۰ با توجه به استانداردهای موجود تهیه گردید و نقشه کاربری اراضی مربوط به سال‌های ۱۹۸۸، ۲۰۰۳، ۲۰۰۷ و ۲۰۱۳ با استفاده از تصاویر سنجنده ETM<sup>+</sup> ماهواره لندست با روش طبقه‌بندی نظارت شده و ماشین بردار پشتیبان تهیه شد (۲۸,۳۸) (شکل‌های ۲ تا ۷). جهت ارزیابی صحت نقشه‌های کاربری



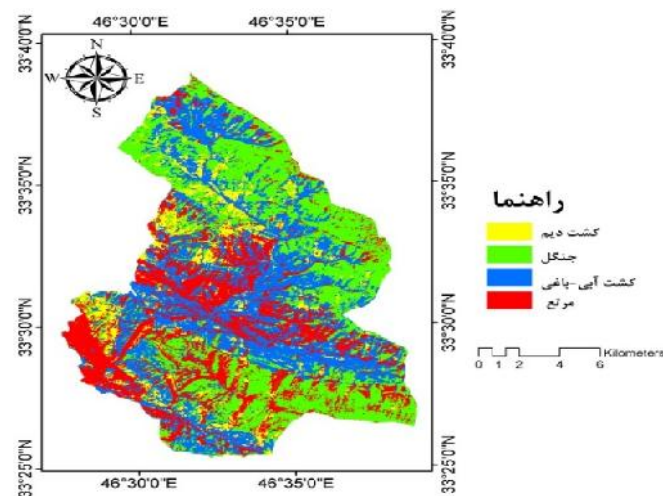
شکل ۲- نقشه رقومی ارتفاعی منطقه مورد مطالعه

Figure 2. Digital elevation map of study area



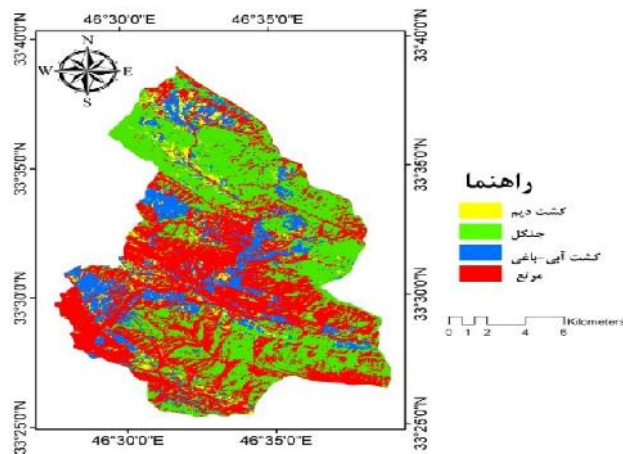
شکل ۳- نقشه بافت خاک منطقه مورد مطالعه

Figure 3. Soil texture map of study area



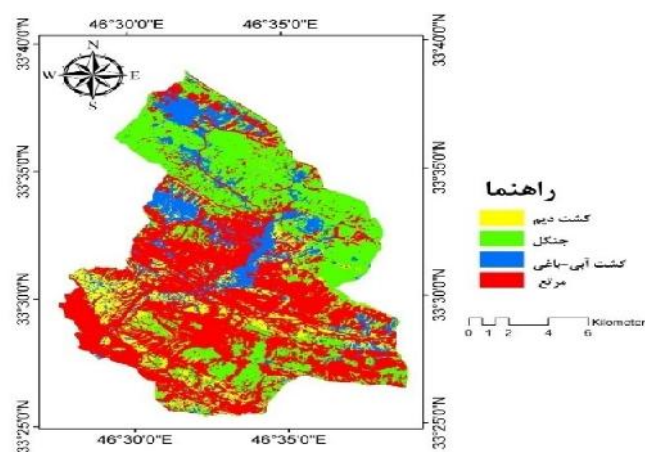
شکل ۴- نقشه کاربری منطقه مورد مطالعه در سال ۱۹۸۸

Figure 4. Land use map of the study area for 1988



شکل ۵- نقشه کاربری منطقه مورد مطالعه در سال ۲۰۰۳

Figure 5. Land use map of the study area for 2003



شکل ۶- نقشه کاربری منطقه مورد مطالعه در سال ۲۰۰۷

Figure 6. Land use map of the study area for 2007

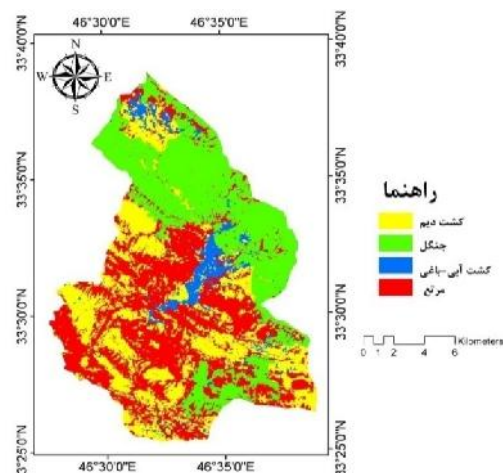


Figure 7. Land use map of the study area for 2013

Figure 7. Land use map of the study area for 2013

### جدول ۱- صحت کلی و ضریب کاپا برای کاربری‌های ۱۹۸۸ تا ۲۰۱۳

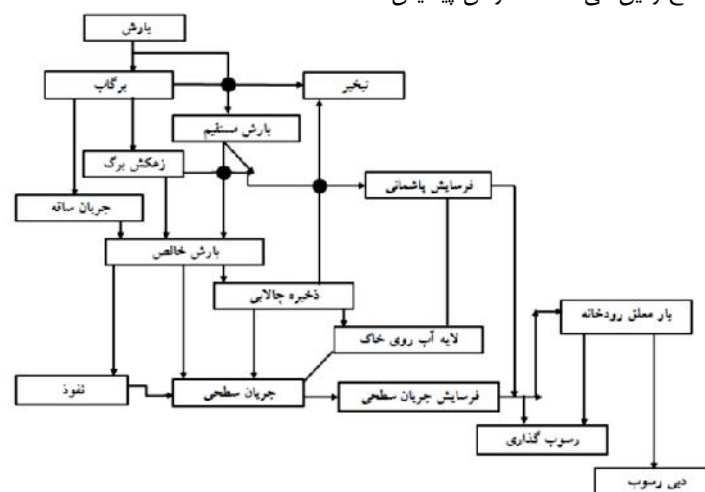
Table 1. Overall accuracy and Kappa coefficient for 1988- 2013 land use maps

سال کاربری	میزان کاربری (%)	تعداد کاربران
۱۹۸۸	۷۷/۷۵	۰/۶۴۲
۲۰۰۳	۸۰/۷	۰/۶۸۳۴
۲۰۰۷	۸۹/۲۲	۰/۸۱۸۵
۲۰۱۳	۹۱/۶	۰/۸۵۵۴

و شدت جریان معین توسط روابط فیزیکی به دست می‌آید. این ماده‌ولیه جز رسوب اندازه‌گیری شده برای واسنجی مدل، به داده‌های بیشتری نسبت به مدل WetSpa نیاز ندارد. این مازلول نه تنها می‌تواند غلظت رسوب معلق را شبیه‌سازی کند، بلکه می‌تواند تغییرات بار رسوب را در زمان به ما بدهد. فرآیندهای فرسایش و انتقال رسوب در شکل ۸ نشان داده شده‌اند. تعدادی از این فرآیندها در مدل قابل WetSpa گنجانده شده، مابقی مربوط به مازلول فرسایش و انتقال رسوب است.

**شرح مژاول فرسایش و رسوب مدل WetSpa**

این مژاول، یک مژاول فیزیکی و توزیعی مکانی است که برای شیوه‌سازی فرسایش، انتقال رسوب و تهنشست رسوب، در چهارچوب مدل هیدرولوژیکی WetSpa توسعه داده شده است (۳۵، ۳۶، ۴۰). جدا شدن ذرات توسط اثر کوبندگی باران توسط روابط بین جدادشگی ذرات خاک و انرژی جنبشی بارش محاسبه می‌شود. جدا شدن ذرات خاک توسط جریان سطحی، به وسیله تنفس برشی واقعی و بحرانی محاسبه می‌شود. آب و رسوب در طول پستی و بلندی‌های معین مسیر جریان بر سطح زمین می‌غذارد که زمان پیمایش



شکا، ۸- نمودار فرآیند فیزیک- توزیع، در نظر گرفته شده در مازه؛ ا، فیساش، و انتقال، رسوب (۳۹)

Figure 8. Physical- distributed process flow chart in erosion and sediment transport module (39)

$$DF = K_f \max\left(0, \frac{\tau}{\tau_c} - 1\right) \quad (8)$$

که DF شدت جدا شدن ذرات خاک به وسیله جریان ( $gm^{-2}s^{-1}$ ) :  $K_f$ : قابلیت فرسایش‌پذیری جریان سطحی ( $gm^{-2}s^{-1}$ )،  $\tau$  : تنش برشی ( $Nm^{-2}$ )،  $\tau_c$  : تنش برشی بحرانی است ( $Nm^{-2}$ ) که به وسیله نمودار اصلاح شده شیلد محاسبه می‌شود (۲۳). تنش برشی به صورت زیر محاسبه می‌شود (۱۸، ۱۹):

$$\tau = \rho ghS \quad (9)$$

که : چگالی آب است ( $kgm^{-3}$ ),  $g$  شتاب گرانشی است ( $m s^{-2}$ ) و  $S$ : شیب سطح آب است (-). تنش برشی مؤثر در سطح خاک لخت به علت تقسیم‌بندی تنش برشی بین گیاه، خاک و دیگر عوامل زبری مانند موائع و بی‌نظمی‌های سطح است (۱۱، ۱۵، ۲۵).

#### ازیابی کاری مدل WetSpa

برای ارزیابی نتایج خروجی مدل از معیار آماری ناش و ساتکلیف (۲۶) استفاده شد. این معیار که به صورت رابطه ده تعریف می‌شود، نشان دهنده دقیق شیوه‌سازی مدل بوده و شامل استاندارد واریانس باقی مانده‌ها می‌شود. این معیار از مقادیر منفی تا یک تغییر می‌کند و هرچه به یک نزدیک شود نشان دهنده تناسب بین مقادیر مشاهداتی و مقادیر شیوه‌سازی شده می‌باشد (۲۷).

$$NS = 1 - \frac{\sum_{i=1}^N (Qs_i - Qo_i)^2}{\sum_{i=1}^N (Qo_i - \bar{Qo})^2} \quad (10)$$

#### نتایج و بحث

#### شبیه‌سازی غلظت رسوب معلق روزانه با نقشه کاربری سال ۲۰۰۷

از آمار رسوب مشاهداتی سال‌های ۱۳۸۲ تا ۱۳۸۹ برای شبیه‌سازی رسوب معلق استفاده شد. در میان رسوب‌های مشاهداتی دو غلظت ۲۰۳ و ۱۹۰ گرم بر لیتر مشاهده شد، که مقادیر بالایی هستند با توجه به مطالعاتی که قیلاً در ایران و جهان صورت گرفته شده است مقادیر بالایی از غلظت رسوب معلق گزارش شده است بنابراین دو عدد فوق الذکر در روند شبیه‌سازی استفاده شد و کنار گذاشته شدند.

#### واسنجی و اعتبار سنجی مدل WetSpa

از آمار بارندگی، دما، تبخر، دبی و رسوب روزانه، یک مهر ۱۳۸۶ تا ۳۱ شهریور ۱۳۸۹ برای اعتبارسنجی و از آمار یک مهر ۱۳۸۲ تا ۳۱ شهریور ۱۳۸۸ برای واسنجی مدل استفاده شد. در این مرحله با تغییر دادن مؤلفه‌های اصلی مدل اقدام به اجرای مدل به دفعات متعدد می‌شود در پایان هر دوره اجرای مدل اگر نتایج رضایت بخش نبود یعنی رسوب و معیارها و شاخص‌های آماری به صورت مناسبی شبیه‌سازی نشده باشد دوباره اقدام به بهینه‌سازی ۱۱ مؤلفه اصلی مدل می‌شود و تا رسیدن به نتیجه قابل قبول مدل دوباره واسنجی سپس با استفاده از مابقی آمار اقدام به شبیه‌سازی غلظت رسوب معلق شد. میزان شاخص‌های ارزیابی مدل در مرحله واسنجی و اعتبارسنجی در جدول دو ارائه شده است. شکل ۹ قسمتی از گراف غلظت رسوب مشاهداتی و شبیه‌سازی شده را توسط مدل نشان می‌دهد.

$$\text{گیرش گیاهی} \\ \text{رابطه (۱) برای گراس‌ها}$$

$$SF = \frac{1}{2} TIF \cos \alpha (\sin \alpha)^2$$

$$SF = \frac{1}{2} TIF \cos \alpha \quad \text{رابطه (۲) برای دیگر گیاهان}$$

$$LD = TIF - SF \quad \text{رابطه (۳)} \\ \text{بارش سطح زمین مجموعه‌ای از تروفال، ساقاب و زهکشی برگ می‌باشد (۲۶، ۳۴، ۴۰).}$$

**جاداشدن ذرات خاک توسط قطره باران**  
مدل سازی جدا شدن ذرات خاک توسط قطره باران بر روایت بین جدا شدن و انرژی جنبشی بارش مبتنی است. انرژی جنبشی باران رسیده به سطح زمین به شرح زیر است (۸، ۱۷، ۳۲):

$$KE_r = \max(8.95 + 8.44 \log I_r, 0)(1 - \lambda_r)P_r \quad \text{رابطه (۴)}$$

$$KE_l = \max(15.8\sqrt{H_c} - 5.87, 0)\lambda_c LD \quad \text{رابطه (۵)}$$

که،  $KE_r$ : شدت انرژی جنبشی حاصل از باران مستقیم ( $Jm^{-2}s^{-1}$ ) که به سطح خاک رسیده،  $KE_l$ : شدت انرژی جنبشی حاصل از زهکشی برگ از تاج پوشش است ( $Jm^{-2}s^{-1}$ )،  $I_r$ : شدت باران است ( $mm/h$ )،  $P_r$ : مقدار باران است ( $mm$ )،  $H_c$ : ارتفاع تاج پوشش می‌باشد (m). توجه داشته باشید که اگر ارتفاع تاج پوشش کمتر از ۱۴ سانتی‌متر باشد  $KE_l$  در معادله ۵ برابر با صفر می‌شود.

ترکیبی از فرآیندهای فوق به معادله زیر برای جدا شدن قطره باران منجر می‌شود (۲۶، ۱۷):

$$DR = k(KE_r + KE_l) \exp(-Z_s h) \quad \text{رابطه (۶)}$$

که در آن،  $DR$ : شدت جدا شدن ذرات خاک توسط اثر قطره باران است ( $gm^{-2}s^{-1}$ )،  $k$ : شاخصی از قابلیت جدا شدن خاک است ( $gJ^{-1}$ ) که ارزش آن باید به طور تجربی بدست بیاید،  $Z_s$ : پارامتری است که بسته به بافت خاک بین  $0/9$  و  $2/0$  تغییر می‌کند ( $mm^{-1}$ )، اما از  $2/0 - 2/2 mm^{-1}$  می‌توان برای طیف گستره‌های از شرایط استفاده کرد (۳۳) و  $h$ : متوسط عمق لایه آب سطحی است (mm). پاشمان برای هر یک از طبقات اندازه‌های ذرات، محاسبه می‌شود (۲۶). برای سطوح بدون فرسایش‌پذیری، مانند رخ نمون سنگ‌ها، سطح قطعات سنگ، بتن و آسفالت، نرخ جدا شدن به صورت زیر اصلاح شده است:

$$DR_r = DR(1 - \lambda_r) \quad \text{رابطه (۷)}$$

که  $DR_r$ : نرخ کاهشی جدا شدن ( $gm^{-2}s^{-1}$ ), با در نظر گرفتن سطوح بدون فرسایش و  $\lambda_r$  : بخشی از سطح خاک که توسط سطوح بدون فرسایش پوشیده شده است (بین صفر و ۱).

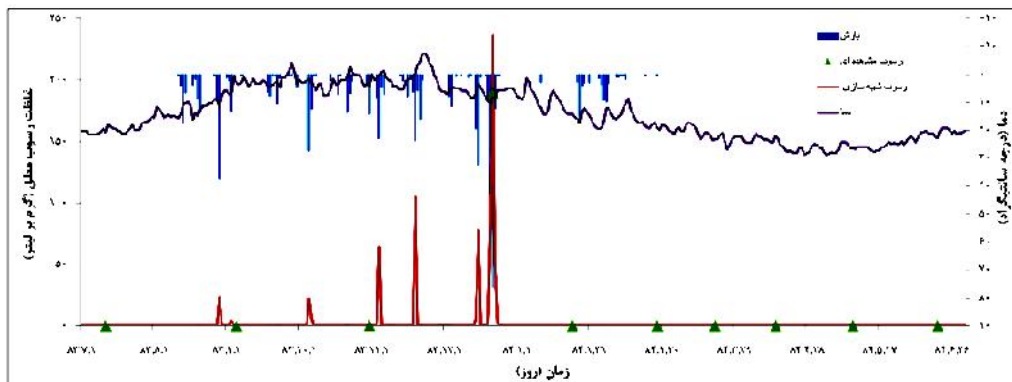
**جاداشدن خاک به وسیله جریان سطحی**  
جریان سطحی توسط تنش برشی اضافی ذرات خاک را جدا می‌کند و به این وسیله پیوستگی ذرات را می‌شکند. جدا شدن ذرات خاک توسط جریان سطحی ( $kgm^{-2}s^{-1}$ ) مانند زیر محاسبه می‌شود (۳۶، ۵، ۴):

شیوه‌سازی رسوب معلق روزانه و بررسی تأثیر تغییر کاربری اراضی بر آن در حوزه آبخیز گل‌گل، ایلام ..... ۵۴

جدول ۲- شاخص‌های ارزیابی مدل در مرحله واسنجی و اعتبارسنجی غلظت رسوب معلق

Table 2. Model evaluation criteria in sediment calibration and validation steps

معیار ارزیابی	واسنجی (%)	اعتبارسنجی (%)
نash-سانکلیف (NS)	۶۷/۴۵	۶۸/۷۸



شکل ۹- بخشی از داده‌های غلظت رسوب معلق مشاهداتی و شبیه‌سازی شده توسط مدل در ۱۳۸۴-۱۳۸۳

Figure 9. A part of observed and simulated suspended sediment data by model during 1383-1384

ثابت گرفتن سایر پارامترها اقدام به اجرای مدل و مشاهده  
نتایج شد (جدول ۳).

نتایج اجرای مدل با تغییر نقشه کاربری  
در ابتدا برای اجرای مدل و صحت آن از نقشه کاربری  
سال ۲۰۰۷ استفاده شد در این مرحله با تغییر نقشه کاربری و

جدول ۳- نتایج انتقال رسوب و رسوب ویژه در دوره واسنجی (۱۳۸۲-۱۳۸۹)

Table 3. Sediment transport and specific sediment results in calibration period (1382-1389)

سال کاربری	بار کل یا رسوب انتقالی (kg/s)	رسوب ویژه (tн در هکتار در سال)
۲۰۱۳	۱۰/۸۸	۱۰/۷۴
۲۰۰۷	۱۰/۶۳	۱۰/۱۷
۲۰۰۳	۱۳/۴۴	۱۳/۳۰
۱۹۸۸	۱۲/۷۳	۱۲/۷۳

آزمون آماری  $t$  جفتی در محیط نرمافزار SPSS 17.0 استفاده شد. نتایج آنالیز آزمون  $t$  جفتی جهت بررسی تأثیر تغییرات کاربری بر تغییر رسوب در وجود تغییرات معنی‌دار بین مقدار غلظت رسوب داده شده است (۶).

آنالیز آماری جهت بررسی تأثیر تغییرات کاربری بر تغییر رسوب جهت بررسی وجود تغییرات معنی‌دار بین مقدار غلظت رسوب روزانه توسط مدل به واسطه تغییر نقشه کاربری اراضی از

جدول ۴- نتایج آنالیز آزمون  $t$  جفتی جهت بررسی تأثیر تغییرات کاربری بر تغییر رسوب در دو بازه زمانی

Table 4. Paired T test for investigation of effects of land use changes on sediment change

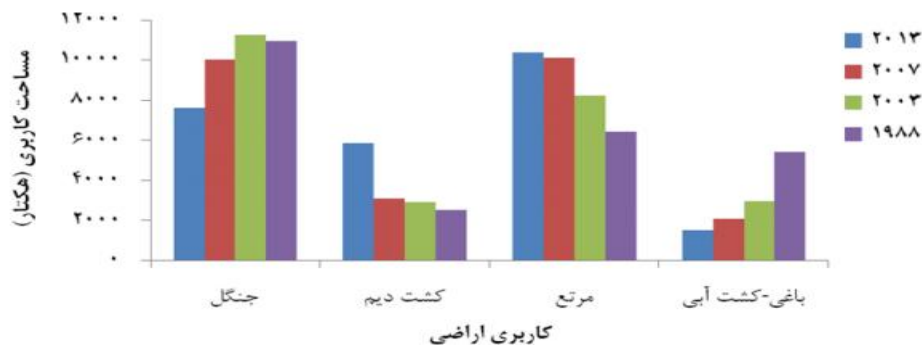
سال کاربری‌ها	درجه آزادی (df)	انحراف از معیار	Sig	مقدار t	میانگین
۱۹۸۸-۲۰۰۳	۲۵۵۶	۰/۰۰۳۵۵	./...	۴/۱۷۵	۰/۰۱۴۸۲
۲۰۰۳-۲۰۱۳	۲۵۵۶	۰/۰۰۵۰۳	./...	-۳/۹۴۱	-۰/۰۱۹۸۴

سنگی مدل برای شبیه‌سازی غلظت رسوب معلق روزانه در رودخانه ۶۸/۷۸ درصد به دست آمد که این نکته نیز تأکید بر دقت قابل قبول نتایج مدل دارد. مدل‌های یکپارچه تغییرات زمانی کوتاه مدت را در نظر نمی‌گیرند و از تغییرات میانگین‌گیری می‌کنند همچنین در مرحله شبیه‌سازی تغییرات هم از میانگین داده‌های مشاهداتی استفاده می‌کنند و طبیعی است که به دقت‌های بالا برسند اما در مدل‌های توزیعی مکانی مانند مدل WetSpa که تغییرات متغیرها را در گام‌های

با توجه به جدول ۴ نتایج نشان داد که به طور کلی تأثیر تغییر کاربری بر روی رسوب در همه دوره در سطح اطمینان یک درصد معنی‌دار می‌باشد. معیار نش-سانکلیف، در مرحله واسنجی برای شبیه‌سازی غلظت رسوب معلق روزانه رودخانه ۶۷/۴۵ درصد به دست آمد که نشان از کارایی مدل در شبیه‌سازی غلظت رسوب می‌باشد. مدل قابلیت خوبی در شبیه‌سازی مقادیر حداکثر غلظت رسوب معلق نشان داده است. معیار نش در مرحله اعتبار

۱۰ نشان داد که اراضی جنگلی و کشت آبی-باغی از سال ۱۹۸۸ تا ۲۰۱۳ روند کاهشی به ترتیب به میزان ۳۳۲۲/۵۰۲ و ۳۹۳۴/۳۸۶ هکتار و اراضی مرتعی و کشت دیم روند افزایشی به ترتیب به میزان ۳۹۴۲/۹۹ و ۳۳۱۳/۹ هکتار را نشان می‌دهند. با توجه به این مسئله سال به سال در منطقه جنگل زدایی صورت گرفته و این اراضی به کشت دیم تخصیص داده شده که بعد از مدتی به علت بازدهی پایین و فقر خاک به علت فرسایش و رسوب رها شده و به اراضی بایر تبدیل شده‌اند.

زمانی روزانه و حتی ساعتی و با دقت اندازه سلوی شبیه‌سازی می‌کنند رسیدن به دقت بالای ۵۵٪ می‌تواند بسیار رضایت بخش باشد (۳۱)، به این دلیل که دقت زمانی و توزیعی- مکانی بسیار سخت‌گیرانه‌تر از مدل‌های یکپارچه است. از منابع خطا در شبیه‌سازی رسوب می‌توان به شبیه‌سازی نامناسب جریان رواناب سطحی در درجه اول، عدم صحبت داده‌ها و عدم پیوستگی اطلاعات رسوب اشاره کرد. بهره‌مند و دسمت (۵) در تأیید این موضوع بیان داشتند دست‌یابی به داده‌های عاری از خطا (بارش، دمی جریان، توپوگرافی و غیره) غیرمحتمل است. نتایج حاصل از تغییر کاربری بر اساس شکل

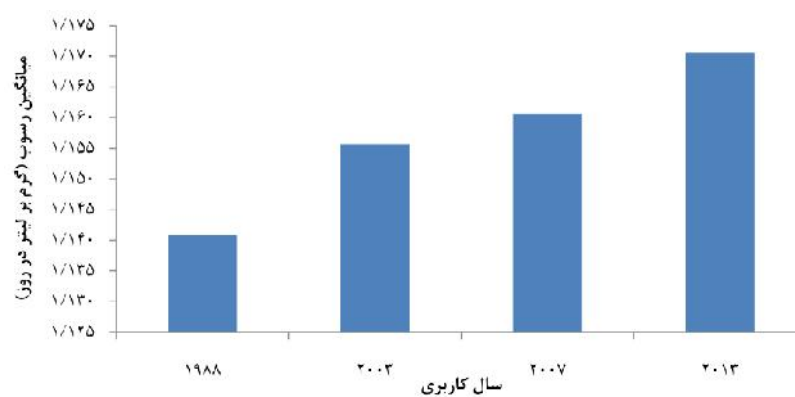


شکل ۱۰- تغییر مساحت کاربری‌ها از سال ۱۹۸۸ تا ۲۰۱۳

Figure 10. Land use area change during 1988-2013

از فاکتورهایی از قبیل گیش بارش توسط تاج پوشش گیاهان، تراکم شبکه ریشه‌ها که ظرفیت نفوذ و تخلخل خاک را افزایش می‌دهد، به علاوه مواد آلی انباسته شده در سطح که موجب افزایش ظرفیت ذخیره چالابی و افزایش زمان جریان سطحی می‌شود. در نتیجه کاهش سطح جنگل و مرتع باعث افزایش فرسایش و رسوب در حوزه آبخیز می‌شود که مطالعه حاضر نیز این نتیجه را تصدیق می‌کند.

در نتیجه استفاده بیش از حد از زمین و با کاهش عمق و حجم ریشه دوانی از استحکام خاک کاسته شده و میانگین غلظت رسوب روزانه در رودخانه مورد نظر از سال ۱۹۸۸ تا ۲۰۱۳ به ترتیب از ۱/۱۴۱ گرم بر لیتر به ۱/۱۷۱ گرم بر لیتر افزایش یافته است (شکل ۱۱). لیو و همکاران (۱۹،۱۸)، بیان داشته‌اند که کمترین رواناب در نتیجه فرسایش و رسوب مربوط به علفزارها و مناطق جنگلی است. که علت آن ناشی



شکل ۱۱- میانگین رسوب سالانه از سال ۱۹۸۸ تا ۲۰۱۳

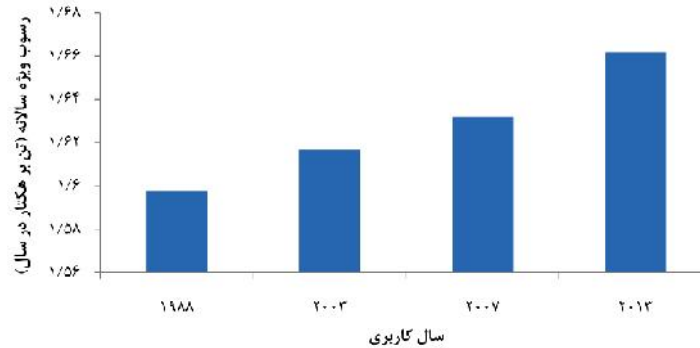
Figure 11. Average of annual sediment during 1988- 2013

پژوهش حاضر نشان داد که تغییر کاربری باعث افزایش رسوب ویژه سالانه به میزان ۰/۰۶۳۸۱۸ تن بر هکتار در سال از سال ۱۹۸۸ تا ۲۰۱۳ شده است یعنی در این دوره زمانی

با تبدیل اراضی جنگلی به دیم نرخ رسوب‌زایی افزایش پیدا می‌کند. درصد تاج پوشش باعث کاهش تولید رسوب و درصد اراضی لخت موجب افزایش تولید رسوب می‌شود. نتایج

فیزیوگرید و کاربری نامناسب اراضی و افزایش اراضی لخت باعث فرازیش تولید رسوب و در نتیجه رسوب ویژه سالانه می‌شود.

۶۳ کیلوگرم در هر هکتار افزایش رسوپ صورت گرفته است (شکل ۱۲). در این راستا جباری (۱۴) به این نتیجه رسیدند که درصد تاج پوشش بالا باعث کاهش تولید رسوپ

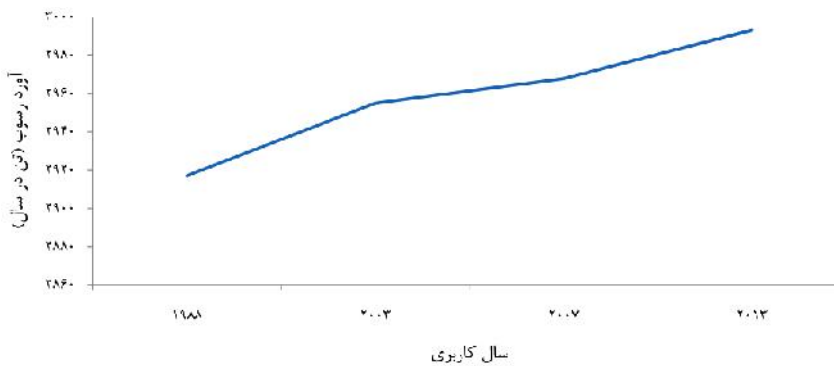


شكل ۱۲- تغییرات رسوب ویژه سالانه از سال ۱۹۸۸ تا ۲۰۱۳

Figure 12. Specific sediment change during 1988-2013

رابطه کاربری اراضی و شیب با فرسایش خاک و تولید رسوب را بررسی کرده و به این نتیجه رسیده است که در هر شبیه، کاربری مراتع کمترین فرسایش، کاربری شخم رها شده بیشترین فرسایش و کاربری زراعت حد وسط فرسایش را به خود اختصاص داده‌اند هم‌خوانی دارد.

مجموعه رسوب سالانه از سال ۱۹۸۸ تا ۲۰۱۳ افزایش یافته است که علت آن را می‌توان تخریب جنگل‌ها به منظور کشاورزی دیم دانست، افزایش حساسیت این زمین‌ها در برابر زمین‌لغزه‌ها را می‌توان خاطر نشان نمود که خود می‌تواند اثر غیر مستقیم تغییر کاربری زمین در میزان تولید رسوب دانست (شکل ۱۳). نتایج به دست آمده با مطالعه آثار پسندیده



شکل ۱۳- تغییرات مجموع رسوب سالانه از سال ۱۹۸۸ تا ۲۰۱۳

Figure 13. Annual cumulative sediment change during 1988-2013

غیرتوزیعی بودن دقت بالایی ندارند، مدل‌های توزیعی مکانی پیچیده نیز به علت نیاز به ورودی‌های زیاد و گستردۀ، با توجه به اینکه در کشور آمار طولانی مدت در دست نداریم قابل استفاده نمی‌باشد. اما مدل WetSpa به دلیل توزیعی بودن، دقت بالا به میزان اندازه سلولی، نیاز به ورودی‌های کم و گام رمانی کوتاه مدت روزانه، ساعتی و دقیقه از دقت مناسبی برای شبیه‌سازی تغییرات بروخوردار می‌باشد. مدل هیدرولوژیکی-WetSpa توزیعی، غلظت رسوب معلق رودخانه گل گل را با دقت قابل قبول در گام زمانی روزانه شبیه‌سازی کرد. یک مدل پوسته هیدرولوژیکی- غالباً فیزیکی است WetSpa که دید مدیریتی خوبی چهت تخصیص کاربری‌های بهینه و شناسایی اولویت‌های مدیریتی چهت برنامه‌ریزی‌های حفاظتی به مدیران حوزه‌های ایجاد کشور می‌دهد.

با توجه به جدول ۴ نتایج نشان داد به طور کلی تأثیر تغییر کاربری بر روی رسوب در همه دوره در سطح اطمینان یک درصد معنی دار می باشد. به طوری که میانگین رسوب سالانه از  $1/141$  گرم بر لیتر در سال ۱۹۸۸ به  $1/71$  گرم بر لیتر در سال ۲۰۱۳ رسید، که به طور متوسط در هر هکتار باعث افزایش  $63/8189$  کیلوگرم رسوب شده است. این نتایج با یافته های زینی وند (۳۹)، مرادی پور (۴۴)، همت زاده و همکاران (۱۳) و لوپز و همکاران (۲۰) که رابطه بین تغییرات کاربری اراضی و تولید رسوب را معنی دار اعلام کردند هم خوانی دارد. در کشور ما به دلیل نقص آماری در ایستگاه های هواشناسی ضرورت شبیه سازی نواقص آماری و بدست آوردن روند تغییرات احساس می شود. مدل های یکپارچه و تجربی به دلیل نداشتن گام های زمانی کوتاه مدت و

## منابع

1. Adams, R. and S. Elliott. 2006. Physically based modelling of sediment generation and transport under a large rainfall simulator. *Hydrological Processes*, 20: 2253-2270.
2. Agharazi, H.A. 2001. Investigation relationship among land use and slope with soil erosion and sediment production. National Conferences Soil Erosion Management and Stable Development, 369-327.
3. Ahmadi, H., M. Jafari, A. Golkarian, A. Abrisham and J. Lafin. 2007. Estimation erosion and sediment by WEPP model, case study in Bararieh Naishabor watershed. *Pazhohesh va Sazandegi dar Manabe Tabie*, 75: 161-172 (In Persian).
4. Ariathurai, R. and K. Arulanandan. 1978. Erosion rates of cohesive soil. *Proceedings of the American Society of Civil Engineers. Journal of the Hydraulics Division*, 104: 279-283.
5. Bahremand, A. and F. De Smedt. 2010. Predictive analysis and simulation uncertainty of a distributed hydrological model. *Water Resource Management*, 24: 2869-2880.
6. Bihamta, M.R. and M.A. Zare Chahouki. 2010. Principle Statistics in Natural Resources, Tehran University Press, 300 pp.
7. Brandt, C.J. 1989. The size distribution of through fall drops under vegetation canopies. *Catena*, 16: 507-524.
8. Brandt, C.J. 1990. Simulation of the size distribution and erosivity of raindrops and through fall drops Earth Surface Processes and Landforms, 15: 687-698.
9. Chmelová, R. and B. Šarapatka. 2002. Soil erosion by water: Contemporary research methods and their use. *Geographica*, 37: 23-30.
10. De Smedt, F., Y.B. Liu and S. Gebremeskel. 2000. Hydrologic modeling on a catchment scale using GIS and remote sensed land use information, In Risk Analysis II, Brebbia, C.A., Ed., WTI press: Southampton, Boston, pp: 295-304.
11. Foster, G.R., L.J. Lane, M.A. Nearing, S.C. Finkner and D.C. Flanagan. 1989. Erosion component, in USDA-Water Erosion Prediction Project: Hillslope Profile Model Documentation, edited by L.J. Lane and M.A. Nearing, NSERL Rep. 2, National Soil Erosion Research, Agricultural Research Service, U. S. Department of Agriculture, West Lafayette, Ind. 10: 1-10.
12. Galton, F. 1853. The narrative of an explorer in tropical southern Africa. London: John Murray, 344 pp.
13. Hematzadeh, Y., H. Barani and A. Kabir. 2009. The role of vegetation management on surface runoff (Case study: Kechik catchment in north-east of Golestan Province). *Water and Soil Conservation*, 16: 18-32 (In Persian).
14. Jabbari, I. 2010. Deposition and a decrease in the expected life of Mahabad dam and some indications of changes on environmental systems in its upstream area. *Geographical Research*, 1: 1-20.
15. Kong, Q.R., C.B. Jiang, J.J. Qin and B. Guo. 2009. Sediment transportation and bed morphology reshaping in Yellow River Delta, *Science in China Series E: Technological Sciences*, 52: 3382-3390.
16. Koo, B.K., S.M. Dunn and R.C. Ferrier. 2005. A distributed continuous simulation model to identify critical source areas of phosphorus at the catchment scale- model description, *Hydrology and Earth System Sciences Discussions*, 2: 1359-1404.
17. Kuznetsov, M.S., V.M. Gendugov, M.S. Khalilov and A.A. Ivanuta. 1998. An equation of soil detachment by flow. *Soil and Tillage Research*, 46: 97-102.
18. Liu, Z. 2001. Sediment transport, Laboratoriet for Hydraulikog Havne by gning Instituttet for Vand, Jordog Miljøteknik, Aalborg Universitet. Online: <http://www.civil.auc.dk/~i5mb/B8/kysthydr/Sediment%20transport.pdf>
19. Lull, H.W., 1964, Ecological and silvicultural aspects, in: Handbook of applied hydrology, VenTe Chow (ed.), 6.1-6.30, McGraw-Hill, New York. 13: 78-90.
20. Liu, Y.B., S. Gebremeskel, F. De Smedt, L. Hoffmann and L. Pfister. 2006. Predicting storm runoff from different land-use classes using a geographical information system-based distributed model. *Hydrological Processes*, 20: 533-548.
21. Lopez, T.D.M., T.M. Aide and F.N. Scatena. 1998. The effect of land use on soil erosion in the Guadiana Watershed in Puerto Rico. University of Puerto Rico. Caribbean Journal of Science, 34: 298-307.
22. Madsen, O.S. and W.D. Grant. 1976. Sediment transport in the coastal environment In: Report No. 209, Ralph M. Parsons Laboratory for Water Resources and Hydrodynamics, Department of Civil Engineering, M.I.T. 105 pp.
23. Matkan, A.A., H. Zeinivand, B. Bayat, A. Ghafourie and B. Mirbagheri. 2012. Simulation of Daily Stream Flow and the Effects of Land Use Changes Using WetSpa Model in GIS (Case Study: Merek Watershed, Kermanshah Province). *Iranian Journal of Remote Sensing & GIS*, 2: 1-20 (In Persian).
24. Moffet, C.A., F.B. Pierson, P.R. Spaeth, K.E. Robichaud and S.P. Hardegree. 2007. Modeling soil erosion on steep sagebrush rangeland before and after prescribed fire. *Catena*, 71: 218-228.

25. Moradipor, S., A.R. Bahremand, H. Zeinivand and A. Najafinejad. 2011. Spatio-temporal simulation of flood by WetSpa hydrological model in Taleghan Watershed. 7<sup>th</sup> National Watershed management conference, Esfahan, 7: 25-33 (In Persian).
26. Morgan, R.P.C., J.N. Quinton, R.E. Smith, G. Govers, J.W.A. Poesen, K. Auerswald, G. Chisci, D. Torri and M.E. Styczen. 1998. The European soil erosion model (Eurosem): A dynamic approach for predicting sediment transport from fields and small catchments. *Earth Surf. Process. Landforms*, 23: 527-544.
27. Nash, J.E. and J.V. Sutcliffe. 1970. River flow forecasting through conceptual models. Part 1-A discussion of principles. *Journal of hydrology*, 10: 282-290.
28. Price, K.C.R., A.J. Jackson, T. Parker, J. Reitan and M.J. Dowd. 2010. Effects of Watershed Land Use and Geomorphology on Stream Base flows in the Southern Blue Ridge Mountains, Presented at Ceweeta long Term Ecological Research Program Summer Research Meeting. Otto, NC, June. 28-29.
29. Pudasaini, M. 2003. Erosion modelling under different land use management practices, M.Sc. Thesis, University of Western Sydney. School of Engineering and Industrial Design, Sudan. 78 pp.
30. Sadeghi, S.H.R., H. Noor and S. Fazli. 2011. Storm-Wise sediment yield prediction using rainfall and runoff variable at educational and research watershed of Tarbiat Modares University. *Journal of Soil and Water Science*, 21: 149-158 (In Persian).
31. Safari, A., F. De Smedt and F. Moreda. 2009. WetSpa model application in the distributed model intercomparison project (DMIP2). *Journal of Hydrology*, 318: 1-12.
32. Smeeton, N.C. 1985. Early History of the Kappa Statistic. *Biometrics*, 41, 795.
33. Torri, D., M. Sfalanga and M. Del Sette. 1987. 'Splash detachment: runoff depth and soil cohesion. *Catena*. 14: 149-155.
34. VanElewijk, L. 1989a. Influence of leaf and branch slope on stemflow amount. *Catena*, 16: 525-533.
35. VanElewijk, L. 1989b. Stemflow on maize: a stemflow equation and the influence of rainfall intensity on stemflow amount. *Soil Technology*, 2: 41-48.
36. Vansteenkiste, T.M. Tavakoli, V. Ntegeka, F. De Smedt, O. Batelaan, F. Pereira and P. Willems. 2014. Intercomparison of hydrological model structures and calibration approaches in climate scenario impact projections. *Journal of Hydrology*, 519: 743-755.
37. Vansteenkiste, T., M. Tavakoli, N. van Steenberg, F. De Smedt, O. Batelaan, F. Pereira and P. Willems. 2014. Intercomparison of five lumped and distributed models for catchment runoff and extreme flow simulation. *Journal of Hydrology*, 511: 335-349.
38. Wicks, J.M. and J.C. Bathurst. 1996. SHESED: a physically based, distributed erosion and sediment yield component for the SHE hydrological modeling system. *Journal of Hydrology*, 175: 213-238.
39. Yousefi, S., M. Tazeh, S. Mirzaee, H.R. Moradi and SH. Tavangar. 2011. Comparison of different classification algorithms in satellite imagery to produce land use maps (Case study: Noor city). *Journal of Applied RS & GIS Techniques in Natural Resource Science*, 2: 15-25 (In Persian).
40. Zeinivand, H. 2009. Development of spatially distributed hydrological WetSpa modules for snowmelt, soil erosion and sediment transport. PhD. Thesis, Vrije University Brussel, Belgium.
41. Zeinivand, H. and F. De Smedt. 2009. Spatially distributed modeling of soil erosion and sediment transport at watershed scale, World Environmental & Water Resources Congress (EWRI), 17-21 May, Kansas City, USA, pp: 17-21.

## Simulation of Daily Suspended Sediment and Investigation of the Impact of land Use Change in GolGol Watershed, Ilam

**Somayeh Mirzaee<sup>1</sup>, Hussein Zienivand<sup>2</sup> and Ali Haghizade<sup>3</sup>**

---

1 and 3- M.Sc. Student and Assistant Professor, Lorestan University

(Corresponding author: hzeinivand@gmail.com)

2- Associate Professor, Lorestan University

---

Received: January 13, 2014      Accepted: January 21, 2015

---

### **Abstract**

In this study, the ability of spatially distributed hydrological WetSpa model for simulation of suspended sediment concentration in a daily time step was investigated. Hydro-climate daily data for a period of 7 years including: precipitation, temperature, evaporation, discharge and suspended sediment and three basic digital maps of DEM, soil texture and land use, with the cell size of 25 meters was used. Also, with the implementation of the model by changing the land use map, we determined the impact of land use change on sediment of GolGol watershed. The results showed that the WetSpa model has potential to simulate suspended sediment concentration at the daily time step based on Nash-Sutcliffe (%67.45) as an important evaluation index. Moreover, the change detection of land use showed that by changes in forest and irrigated agriculture-garden from 1988 to 2013 there is a reduction amount of 3322.5 and 3934.3 hectares respectively, while, for rangeland and dry farming increased 3942.99 and 3313.9 hectares respectively. The results showed that the mean daily sediment concentration, annual specific sediment and annual suspended sediment yield by changing land use from 1988 to 2013 has increased. Statistical analysis results showed that the land use changes have effect on suspended sediment concentration in 1% significant level in the study area, so that the mean annual sediment concentration of 1.141 g/l in 1988 increased to 1.171 g/l in 2013. Finally the yearly average of sediment yield increased 63.8189 kilograms per hectares.

**Keywords:** GolGol Watershed, Land use Change, Spatially-distributed Hydrological, WetSpa Model, Sediment Simulation